上野野野 生物化学与生物物理进展 Progress in Biochemistry and Biophysics 2011, 38(10): 953~960 www.pibb.ac.cn

成纤维细胞生长因子 21 对 1 型糖尿病动物模型的肝糖代谢影响及机制研究 *

孙国鹏! 叶贤龙! 任桂萍! 李晋南! 李德山!**

(1)新乡学院生命科学与技术系,新乡453000; 2)东北农业大学生命科学学院生物制药教研室,哈尔滨150030)

摘要 成纤维细胞生长因子(FGF)-21 是 FGF 家族的成员之一. 作为近年发现的一种新的糖代谢调节因子,大量研究表明,FGF-21 是一种不依赖胰岛素,能够独立降糖的 2 型糖尿病治疗潜力型药物. 但是,能否应用于 1 型糖尿病的治疗,国内外目前尚无报道. 通过改良传统造模方法,诱导小鼠缓慢产生糖耐量异常,研究 FGF-21 对此类模型的糖代谢影响及肝糖代谢机制. 通过检测 FGF-21 短期注射和长期注射后模型动物血糖的变化,研究 FGF-21 在模型动物上对血糖的调控效果. 采用实时定量 PCR 检测 FGF-21 对模型动物肝脏中葡萄糖转运蛋白(GLUT)1、4 mRNA 的表达影响. 利用蒽酮法检测模型动物肝脏中糖原合成量. 实验结果显示,FGF-21 能够调节 1 型糖尿病动物的血糖水平,并呈剂量依赖性. 同时,首次在 1 型糖尿病动物模型上证实了低剂量 FGF-21 能够调节 1 型糖尿病动物的血糖水平,并呈剂量依赖性. 同时,首次在 1 型糖尿病动物模型上证实了低剂量 FGF-21 能够编持 1 型糖尿病动物模型血糖在正常范围,效果优于胰岛素. 实时定量 PCR 结果发现,与胰岛素上调 GLUT4 mRNA 表达量不同的是,FGF-21 作用动物模型 8 周后,GLUT1 mRNA 表达量显著提高,长期的 FGF-21 与胰岛素协同注射使 GLUT1、4 mRNA 表达量同时显著提高. 长期 FGF-21 与胰岛素协同注射组和高剂量 FGF-21 注射均可显著提高模型动物肝糖原的合成. 结果表明,FGF-21 促进动物模型糖代谢机制与增加 GLUT1 表达、增加糖原合成作用有关. 为临床应用 FGF-21 治疗 1 型糖尿病,增加胰岛素敏感性提供了理论依据.

关键词 成纤维细胞生长因子 21, 迟发性 1 型糖尿病动物模型,糖代谢,胰岛素协同作用,糖尿病治疗药物学科分类号 Q7, R587.1 **DOI**: 10.3724/SP.J.1206.2011.00098

糖尿病是一类由多种病因引起的代谢类疾病. 该病以高血糖为主要特征,并伴随多饮、多尿、多食以及消瘦等症状. 糖尿病发展下去,持续的高血糖会损害心脏、血管、眼睛、肾脏和神经等组织和器官,引起一系列并发症最终导致死亡. 糖尿病的临床治疗一直需要一种能不以胰岛素为依托,解决胰岛素抵抗的新型药物[□]. 成纤维细胞生长因子-21 (fibroblast growth factor-21, FGF-21)是最近发现的FGF家族中的一员,主要在肝脏中表达. 已发表的数据证明,它可以有效降低 2 型糖尿病动物胰岛素水平,改善胰岛素抵抗,而且大剂量用药也不会导致低血糖的发生及细胞增殖[□],并且不会产生高胰岛素血症、体重增加和水肿等常规降糖药物所带来的副作用. 因此,FGF-21 具有成为治疗糖尿病新型药物的潜力.

目前 FGF-21 的研究已成为世界糖尿病研究的

新热点. 近年来,不断有文献报道 FGF-21 的生物学功能,其功能的涉及面也越来越广. 大量研究结果表明,FGF-21 是一种治疗 2 型糖尿病的潜力型药物,但针对 1 型糖尿病血糖调节机制的研究尚无报道. 已有研究表明 FGF-21 能够改善胰腺功能,促进胰岛细胞再生。刘铭瑶等问进一步研究表明,FGF-21 能够促进 HepG2 肝细胞系的葡萄糖吸收,因此本研究在动物水平对 FGF-21 治疗后的模型肝糖代谢进行研究. 针对 FGF-21 对糖代谢的调节作用,通过改良传统链脲佐菌素(STZ)诱导模型方法,

Tel: 0451-55190645, E-mail: deshanli@126.com 收稿日期: 2011-03-02, 接受日期: 2011-05-04

^{*}黑龙江省科技厅攻关项目资助(2006G0461-00)和哈尔滨市科技创新人才发展计划资助项目(2006RFXXS002).

^{**} 通讯联系人.

建立能够模拟糖尿病病发过程的迟发性 1 型糖尿病动物模型,并应用此模型首次对 FGF-21 在 1 型糖尿病动物上的糖代谢影响及其肝糖代谢机制进行初步研究.

1 材料与方法

1.1 实验材料

- 1.1.1 主要试剂. 链脲佐菌素为 Sigma 公司产品 (批号 1000543148); 小鼠血清胰岛素 ELISA 试剂 盒为美国 ADL 公司产品; 小鼠糖基化血红蛋白 A1c(GHbA1c)酶联免疫试剂盒为美国 UCL 公司产品; 兔抗鼠 FGF-21 多克隆抗体由东北农业大学生 物制药教研室制备,经标准蛋白验证; HRP 标记的二抗为羊抗兔抗体购自 R&D 公司; 其他化学试剂为分析纯为国药集团化学试剂有限公司产品.
- **1.1.2** 实时荧光定量 PCR 引物由 Invitrogen 公司合成.
- **1.1.3** 动物. 健康成年昆明小鼠,雄性,普通级,购于哈尔滨兽医研究所.

1.2 实验方法

- 1.2.1 迟发性 1 型糖尿病动物模型制备. 小鼠适应性饲喂 2 周后其体重达到 40~50g, 准备开始实验. 实验开始前,需将小鼠禁食不禁水 12 h. 第一次按 20mg/kg 剂量,腹腔注射 STZ,间隔 3 日按15 mg/kg 剂量,腹腔第二次注射 STZ;对照组只注射柠檬酸-柠檬酸钠(pH 4.4)缓冲液. 注射 4 周后,选取空腹血糖浓度 > 16.65 mmol/L,且糖基化血红蛋白水平 > 6.2%的模型小鼠进行实验. 实验过程中动物自由进食、饮水.
- 1.2.2 鼠源 FGF-21(mFGF-21)蛋白的制备.将表达 SUMO-mFGF-21 的 Rosetta 菌液上清通过上样器注入 AKTApurifier 100 系统,流速为 1 ml/min;样品与 HisTrap™ FF crude colum 完全结合后,用 10~15 倍柱体积的含 40 mmol/L 咪唑的结合缓冲液冲洗去除杂蛋白;当紫外吸收曲线达到稳定的基线时,再用至少 5 倍柱体积含 500 mmol/L 咪唑的洗脱缓冲液将融合蛋白洗脱下来;当紫外吸收曲线上出现相应蛋白吸收峰时,收集洗脱液.采用HiPrep™ 26/10 脱盐柱将高浓度咪唑保存液置换为磷酸盐缓冲液,然后使用 SUMO 蛋白酶切除融合标签.酶切产物通过 HisTrap™ FF crude colum 亲和层析分离纯化,利用收集器收集 mFGF-21 成熟蛋白.通过 HPLC Biosuit™250 硅胶柱分析 mFGF-21 纯度并使用鲎试剂检测蛋白质内毒素含量.

- **1.2.3** Western blotting 检测 mFGF-21. 用兔抗鼠 FGF-21 多克隆抗体(按 1:100 比例稀释)与辣根过氧化物酶标记的(HRP)二抗(按 1:5 000 比例稀释) 进行 Western blotting 检测.
- 1.2.4 mFGF-21 调节模型动物糖代谢研究. 将模型小鼠随机分为7组,每组5只. 通过皮下给药方式,阴性对照组注射生理盐水,阳性对照组注射4U人重组胰岛素,设置不同mFGF-21蛋白剂量组,研究其最低有效剂量及持续时间. A 组按0.125 mg/kg体重比注射mFGF-21, C 组按0.5 mg/kg体重比注射mFGF-21, D 组按0.75 mg/kg体重比注射mFGF-21,为研究其与胰岛素在动物模型上的作用关系,设置E组,混合注射4U胰岛素与0.125 mg/kgmFGF-21. 连续注射8周,观察各个处理组的血糖以及糖基化血红蛋白变化情况.
- 1.2.5 mFGF-21 对模型动物肝脏中葡萄糖转运蛋 白(GLUT) 1、4mRNA 的表达影响. 糖尿病模型动 物分别注射 0.75mg/kg mFGF-21、4U 胰岛素、4U 胰岛素和 0.125 mg/kg mFGF-21, 注射生理盐水模 型鼠为对照. 注射 8 周后, 断颈处死后用 Trizol 法 提取肝脏总 RNA. 以不同处理的肝脏总 RNA 为模 板, Oligo(dT)₁₅ 为引物合成 cDNA. 利用实时荧 光定量 PCR 方法检测模型动物肝脏内 GLUT1、 4 mRNA 的表达变化. 选用在肝脏组织中稳定表达 的 β-actin 作为内参. 按照 Thermal Cycler Dice™ Real Time PCR (TaKaRa Code: TP800) 的使用说明 书要求进行实验操作,同时扩增内参及GLUT1、4 目的基因. β-actin 内参上游引物为 5' GAGACCT-TCAACCCC 3', 下游引物为 5' GTGGTGGTGAA-GCTGTAGCC 3'. GLUT1 目的基因扩增上游引物 为 5'CCATCCACCACACTCACCAC 3', 下游引物 为 5' GCCCAGGATCAGCATCTCAA 3'. GLUT4 目的基因扩增上游引物为 5′ CTTCTTTGAGATTG-GCCCTGG 3', 下游引物为 5' AGGTGAAGATG-AAGAAGCCAAGC 3′,每个样品至少重复 3次. 使用相对定量分析方法(2-ΔΔα法)对目的基因进行相 对定量.
- **1.2.6** 模型动物肝糖原检测(蒽酮法)方法见文献[5].
- **1.2.7** 统计分析. 应用 SPSS11.1 统计分析软件对结果进行处理. 数据用 $\bar{x} \pm s$ 表示. 两组间比较用 t 检验.

2 结 果

2.1 1型糖尿病动物模型空腹血糖、糖基化血红蛋白、血清胰岛素

注射 STZ 两周后,模型组空腹血糖与对照组

比较,差异极显著(**P < 0.01); 糖基化血红蛋白与对照组比较,差异显著(*P < 0.05); 血清胰岛素水平与对照组比较,差异显著(*P < 0.05). 这些结果表明建模成功,结果见表 1.

Table 1 The fasting blood glucose, glycosylated hemoglobin and serum insulin level of the model mice

Group	$c(Glu)/(mmol \cdot L^{-1})$	GHbA1c/%	ρ (Serum insulin)/(μ g •L ⁻¹)
Control	4.61 ± 0.36	4.33 ± 0.28	0.35 ± 0.04
Model set	16.22 ± 1.14**	$8.41 \pm 0.37^*$	$0.24 \pm 0.04^*$

The values $(\bar{x} \pm s)$ shown are the average of at least 5 independent measurements. *P < 0.05, **P < 0.01 compared with control group.

2.2 mFGF-21 蛋白的制备

将菌液上清通过上样器注入 AKTApurifier 100 系统,使样品与 HisTrap™ FF crude colum 完全结合,融合蛋白在 500 mmol/L 浓度咪唑作用下与镍柱脱离,紫外光吸收为单一对称峰,结果见图 1. 融合蛋白经脱盐柱后,将高浓度咪唑溶液置换成磷酸盐缓冲液,结果见图 2. 所得成熟 mFGF-21 经HPLC 分析,在 14 min 处有纯度较高的单一对称峰出现,认为是 mFGF-21 成熟蛋白,其纯度可达到 95%以上,结果见图 3. 蛋白质经鲎试剂检测分析,其内毒素含量为(0.63 ± 0.14) EU/ml,符合动物实验标准.图 4 为 SUMO-mFGF-21 融合蛋白、SUMO-mFGF-21 融合蛋白物与成熟 mFGF-21的 SDS-PAGE 分析结果.

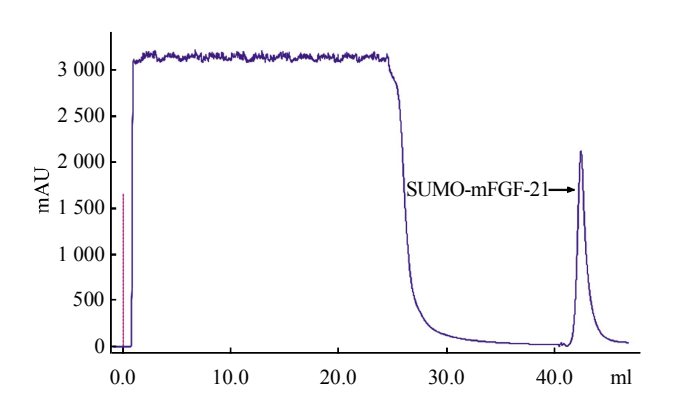


Fig. 1 Affinity chromatograph of SUMO-mFGF21 by HisTrap™ FF crude

: Manual run 9:10 UV1 280 nm; —: Manual run 9:10 inject.

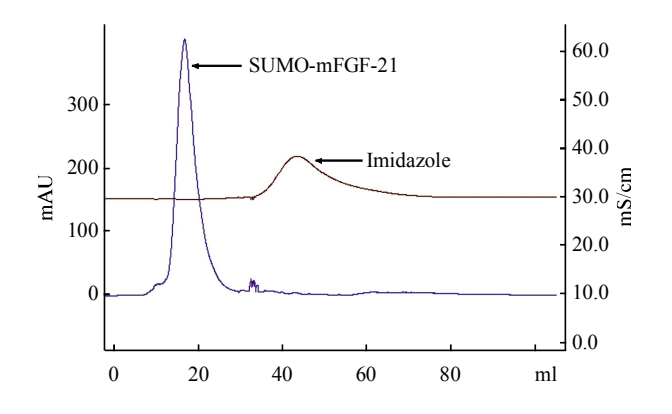


Fig. 2 Gel chromatography of SUMO-mFGF-21 by HiPrep™ 26/10 desalting

---: Manual run 8:10 UV1 280 nm; ---: Manual run 8:10 cond.

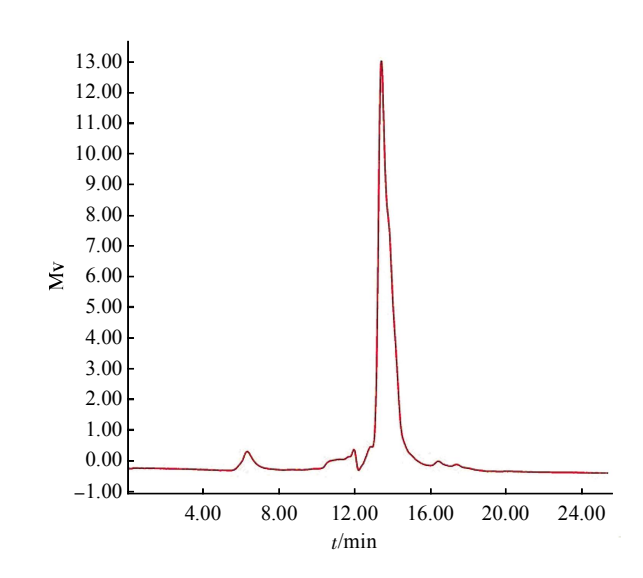


Fig. 3 Analysis mFGF-21 by HPLC

— : Sample lijinnan.(3)2008.08.05; Injection 10; Satin Ch 1; Date: 2008-8-5 21:41:16 CST.

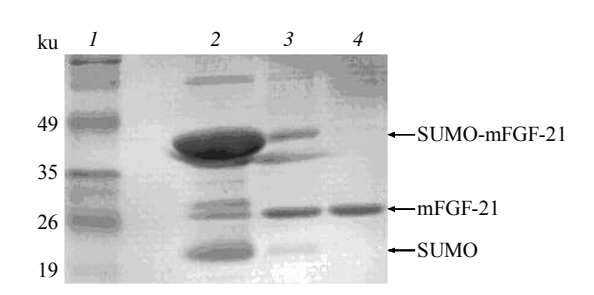


Fig. 4 SDS-PAGE gel analysis of purification of mFGF-21 *1*: Marker; 2: SUMO-mFGF-21 fusion protein; *3*: Digestion products of SUMO-mFGF-21; *4*: mFGF-21 protein.

2.3 mFGF-21 Western blotting 检测

蛋白质印迹实验中 1 号泳道加入 1 μg mFGF-21 蛋白作为待检物, 2 号泳道加入 1 μg BSA 作为阴性对照. 用兔抗鼠 mFGF-21 多抗进行 Western blotting 检测的结果分析表明, 1 号泳道的蛋白质能与兔抗鼠 mFGF-21 抗体发生反应. 证明 mFGF-21 反应的特异性(图 5).

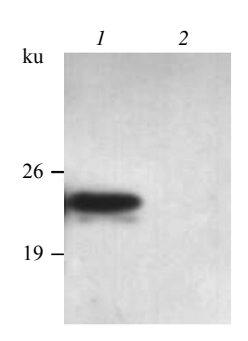


Fig. 5 Western blotting analysis of mFGF-21 *1*: mFGF-21; *2*: BSA.

2.4 mFGF-21 调节模型动物糖代谢结果

2.4.1 mFGF-21 对 1 型糖尿病模型的短期降糖效 果. 血糖的测定采用美国强生血糖仪及其配套试 纸,每间隔1h检测血糖,血糖检测过程中动物自 由进食、饮水. 生理盐水对照组, 在注射前后血 糖没有变化;人重组胰岛素注射组,在注射后1h 即降血糖至正常水平(5.43 ± 0.71) mmol/L, 注射后 2 h 血糖回升至(9.18 ± 0.56) mmol/L, 至第 4 h 已 经完全回复至初始水平(17.91 ± 0.78) mmol/L; 0.125 mg/kg mFGF-21 处理组在注射后 1 h 略有下降 (16.09±0.83) mmol/L, 但不显著; 0.25 mg/kg mFGF-21 处理组在注射 2 h 后血糖降至(10.32±0.66) mmol/L, 然后逐渐回复,第6h回复到初始水平;0.5 mg/kg mFGF-21 处理组在注射 2 h 后血糖接近正常水平 (7.33 ± 0.62) mmol/L, 并持续维持模型小鼠血糖处 于正常水平近 5 h; 0.75 mg/kg mFGF-21 处理组与 0.5 mg/kg mFGF-21 处理组相同,同样可维持模型 小鼠血糖处于正常水平近5h, 证实 mFGF-21 在动 物体内对血糖的调节呈剂量依赖性; 有趣的是 0.125 mg/kg mFGF-21 单独处理模型动物,短期内 注射无法维持模型小鼠血糖正常水平, 且常用的人 重组胰岛素的作用时间只有 2 h 左右. 将 4U 重组 人胰岛素与 0.125 mg/kg 的 mFGF-21 混合注射后, 无论是持续时间还是作用效果都明显优于每种组份 单独给药的效果,血糖在注射 1 h 后即可降至正常 水平(6.33±0.79) mmol/L, 并一直维持血糖正常水 平达6h,结果见图6.

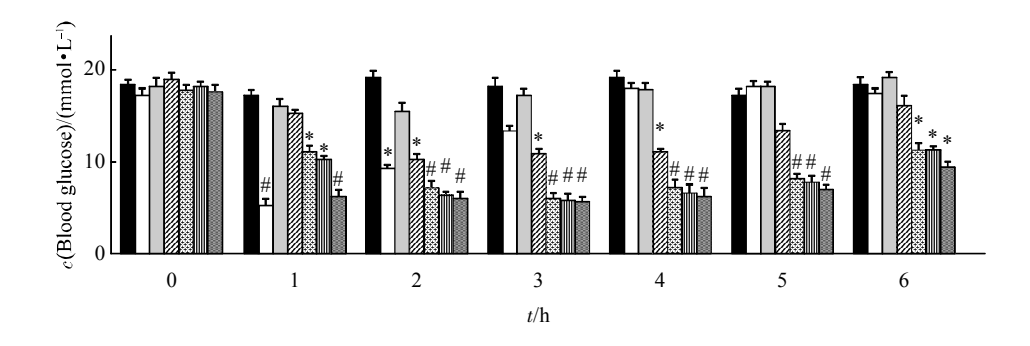


Fig. 6 6 hours blood glucose of different groups

The animal model mice were administrated with saline (Control), 4U insulin, 0.125 mg/kg mFGF-21, 0.25 mg/kg mFGF-21, 0.5 mg/kg mFGF-21, 0.75 mg/kg mFGF-21, 4U insulin plus 0.125 mg/kg mFGF-21 co-treatment respectively for 6 h. The values $(\bar{x} \pm s)$ shown are the average of at least 5 independent measurements. *P < 0.05, *P < 0.001 compared with each group before treatment. : Control(saline); : 4U insulin; : 0.125 mg/kg; : 0.25 mg/kg; : 0.25 mg/kg; : 0.25 mg/kg; : 0.75 mg/kg; : 0.75 mg/kg.

2.4.2 mFGF-21 对 1 型糖尿病模型的长期降糖效果.每日 1 次注射胰岛素(4U insulin)、不同剂量的 FGF-21(A组: 0.125 mg/kg mFGF-21; B组: 0.25 mg/kg mFGF-21; C组: 0.5 mg/kg mFGF-21; D组: 0.75 mg/kg mFGF-21)和 FGF-21 与胰岛素混合剂量(E组: 0.125 mg/kg mFGF-21+4U 胰岛素),连续注射 8 周后停药.停药 1 天后检测不同处理组,正常饮食、饮水后的血糖和糖基化血红蛋白变化.阴性对照组,血糖与糖基化血红蛋白较 8 周前升高水平差异显著(**P<0.01),说明无治疗措施的情况下模型动物高血糖病症状加重; 胰岛素处理组,血糖与糖基化血红蛋白较 8 周前无明显变化,说明胰岛素治疗组仅可在短时间内控制血糖水平,无法对血糖

起到长期的调控效果,糖基化血红蛋白水平没有降低; A组血糖与糖基化血红蛋白较 8 周前均有降低且差异显著(*P<0.05),说明小剂量的 mFGF-21 对模型动物的高血糖症状有所缓解,在一定程度上能长期控制血糖的水平,糖基化血红蛋白较治疗之前有一定程度的降低; B组、C组、D组和E组,血糖与糖基化血红蛋白较 8 周前均有明显降低,且差异极显著(**P<0.01),说明高剂量 mFGF-21 组(C组和D组)与协同作用组对糖尿病动物的血糖水平有长久持续的调控作用,反映 8~12 周血糖水平的糖基化血红蛋白较未经治疗前糖基化水平明显下降,结果见表 2.

Table 2 The blood glucose level and glycosylated hemoglobin of the model mice after administration with different doses of mFGF-21 and insulin plus mFGF-21 for 8 weeks

Group	Before administration		8 weeks later	
	$c(Glu)/(mmol \cdot L^{-1})$	GHbA1c/%	$c(Glu)/(mmol \cdot L^{-l})$	GHbA1c/%
Control(salin)	18.58 ± 0.75	12.31 ± 0.95	24.19 ± 0.82**	19.72 ± 0.83**
Insulin	18.22 ± 1.63	13.44 ± 0.46	18.67 ± 1.32	14.32 ± 0.73
Group A	17.28 ± 1.02	12.49 ± 0.54	$13.33 \pm 0.85^*$	$10.52 \pm 0.67^{\circ}$
Group B	18.27 ± 0.78	14.73 ± 0.31	$10.21 \pm 0.52^{**}$	$10.10 \pm 0.73^{**}$
Group C	19.13 ± 0.81	13.08 ± 0.74	$9.17 \pm 0.71^{**}$	8.11 ± 0.62**
Group D	18.17 ± 0.69	12.32 ± 0.67	$8.38 \pm 0.57^{**}$	$7.62 \pm 0.67^{**}$
Group E	17.64 ± 0.93	12.11 ± 0.78	$7.65 \pm 0.46^{**}$	$7.82 \pm 0.81^{**}$

The model mice were administrated with saline (Control), 4U insulin (insulin), 0.125 mg/kg mFGF-21 (Group A), 0.25 mg/kg mFGF-21 (Group B), 0.5 mg/kg mFGF-21 (Group C), 0.75 mg/kg mFGF-21 (Group D), 4U insulin plus 0.125 mg/kg mFGF-21 co-treatment (Group E) respectively for 8 weeks. The values $(\bar{x} \pm s)$ shown are the average of at least 5 independent measurements. *P < 0.05, **P < 0.01 compared with each group before administration.

2.5 mFGF-21 影响模型动物肝脏内 GLUT1、4 mRNA 表达变化

糖尿病模型动物分别注射 4U 胰岛素、0.75 mg/kg mFGF-21、4U 胰岛素与 0.125 mg/kg mFGF-21,对照组注射生理盐水,8 周后,提取肝脏总 RNA,反转录得到的 cDNA 为模板,利用特异性引物进行 Real-time PCR 检测不同处理组间GLUT1、4mRNA 的表达量变化,以注射生理盐水的模型动物为对照,结果见图 7. 经胰岛素长期注射后,GLUT4 mRNA 的表达量增加了 2.6 倍,较对照组差异极显著(P<0.01),而 GULT1mRNA 的表达量增至 1.13 倍,较对照组无明显差异;经mFGF-21 长期注射后,GLUT1 mRNA 的表达量,

增加了 3.4 倍,较对照组差异极显著(P<0.01),而 GLUT4 mRNA 的表达量增加 1.22 倍,较对照组相 比无明显差异;长期注射低剂量 FGF-21 与胰岛素后,GLUT1 mRNA 的表达量增加了 1.8 倍,较对照组相比差异显著(P<0.05),GLUT4 mRNA 的表达量增加了 3.1 倍,较对照组相比差异极显著 (P<0.01). 由此可见,与胰岛素促进 GLUT4 表达不同的是,mFGF-21 在动物模型中是通过上调 GLUT1 的表达来促进葡萄糖的摄取.低剂量 mFGF-21 与胰岛素协同注射后则可通过同时上调 GLUT1、4 的表达来加强葡萄糖的摄取,增加葡萄糖转运.

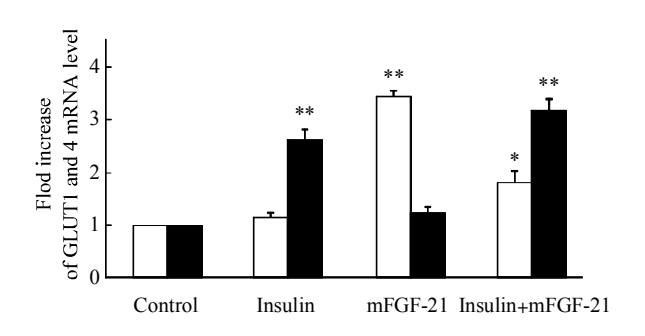


Fig. 7 GLUT1 and 4 mRNA expressions in the liver of T1DM mice model after administration with insulin, low-dose mFGF-21 plus insulin co-treatment, high-dose mFGF-21 respectively

The animal model mice were administrated with saline (Control), 4U insulin, 0.75 mg/kg mFGF-21, 4U insulin plus 0.125 mg/kg mFGF-21 co-treatment respectively for 8 weeks. The values $(\bar{x} \pm s)$ shown are the average of at least 3 independent measurements. *P < 0.05, **P < 0.01 compared with control group administrated with saline. \square : GLUT1 mRNA; \blacksquare : GLUT4 mRNA.

2.6 mFGF-21 对模型动物肝糖原的影响

注射 4U 胰岛素、4U 胰岛素 + 0.125 mg/kg mFGF-21 和 0.75 mg/kg mFGF-21 模型动物注射 8 周后停药,采集肝脏组织,经蒽酮法测定糖原含量(图 8). 结果表明,3 种长期注射均可促进模型动物肝脏糖原的合成,胰岛素注射组糖原含量(19.05 ± 0.33) mg/g 与注射生理盐水的对照组

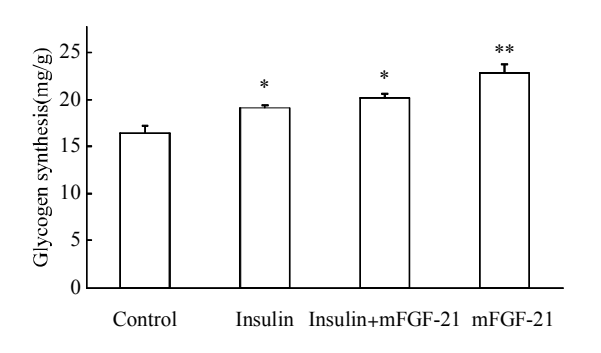


Fig. 8 The glycogen synthesis of model mice after administrated with insulin, low-dose mFGF-21 and insulin co-treatment, high-dose mFGF-21 respectively

The animal model mice were administrated with saline (Control), 4U insulin, 4U insulin plus 0.125 mg/kg mFGF-21 co-treatment, 0.75 mg/kg mFGF-21 respectively for 8 weeks. The values ($\bar{x} \pm s$) shown are the average of at least 5 independent measurements. *P < 0.05, **P < 0.01 compared with control group.

 (16.43 ± 0.82) mg/g 比较,差异显著(*P<0.05),胰岛素与 mFGF-21 协同注射组糖原含量(20.26 \pm 0.37) mg/g 与对照组比较,差异显著(*P<0.05),高剂量 mFGF-21 注射组糖原含量(22.88 \pm 0.84) mg/g 与对照组比较,差异极显著(**P<0.01).

3 讨 论

成纤维细胞生长因子(fibroblast growth factor, FGF)是一种多功能活性物质[6], FGF-21 是 Nishimura 等在 2000 年从小鼠胚胎中分离出来的 FGF 家族的 一个新成员,其主要在肝脏中表达. 虽然 FGF-21 发现较早,但直到2005年才有文献对其功能进行 报道. FGF-21 是一种安全、可靠、不依赖于胰岛 素的代谢调节因子,参与糖脂代谢的调节过程,已 有大量实验证明它是除胰岛素外, 生物体内又一个 能够独立调节糖代谢的因子[7]. 尽管人们对 FGF-21 的功能进行了大量的研究, 从细胞到动物, 涉及了 代谢的众多层面,但是对 FGF-21 在 1 型糖尿病动 物模型上调节糖代谢的研究, 在国内外文献中均无 报道. 本研究通过改良传统 STZ 造模方法,采用 腹腔小剂量多次给药, 在严格控制小鼠体重和健康 的情况下,提高了造模的成功率,大幅地降低 STZ 用量,减少研究成本. 更为重要的是利用小剂量多 次注射 STZ, 能够诱导小鼠产生迟发性的糖耐量异 常,较准确地模拟糖尿病患者的真实空腹血糖,反 映糖尿病从发生、发展到临床症状期的特征. 这也 正是传统造模方法所无法比拟的优势所在. 这种方 法为糖尿病预防、治疗和发病机制的研究提供了 更为适合、简便且经济的动物实验平台. 本文利用 1型糖尿病模型对 mFGF-21 的糖代谢效果及机制 进行研究. 通过监测模型鼠注射蛋白质后短期血糖 变化,发现 mFGF-21 能够调节此类模型的血糖水 平,并呈剂量依赖性.胰岛素单独注射虽能够使模 型动物血糖有所下降,但持续时间十分短暂. 本实 验室的大量研究表明, 鼠源 FGF-21 和人源 FGF-21 在促进脂肪细胞糖代谢过程中与胰岛素有协同作 用[8-9]. 本文对迟发性的 1 型糖尿病动物模型上对 mFGF-21 与胰岛素的协同作用关系进行探讨,证 明 mFGF-21 能够在此类模型上增强胰岛素作用效 果和持续时间.

模型动物长期治疗效果发现,虽然低剂量mFGF-21(0.125 mg/kg)注射在短期内对血糖的控制不是十分理想,但在长期注射后仍然可以对血糖有所调控,特别是糖基化血红蛋白水平的降低更是充

分证实了低剂量 mFGF-21 对模型动物的血糖也具 有持续的调控作用. 推测是由于注射剂量较低, 在 短期内起效缓慢,效果并不显著,经过长期注射后 低剂量 mFGF-21 在动物体内缓慢起效,由于量的 积累使降糖效果逐渐增强且显著. 胰岛素单独注射 后,动物在2h内血糖水平恢复至正常,随后升至 注射前水平. 虽然经胰岛素长期注射, 但其降糖效 果持续时间短, 在每天注射一次的前提下, 模型动 物在胰岛素处理期间,大部分时间里还是处于高血 糖状态, 反映长期血糖水平的糖基化血红蛋白未降 低,但较生理盐水注射组仍可控制血糖和糖基化血 红蛋白的继续上升. 低剂量(0.125 mg/kg) mFGF-21 长期注射虽有效果但较高剂量注射组仍有一定差 距,胰岛素长期注射组对血糖长期调控效果并不明 显. 低剂量 mFGF-21(0.125 mg/kg)与胰岛素的混合 组在短期血糖调控效果上体现了与高剂量 mFGF-21 等同甚至更优越的效果. 长期注射后, 同样也在血糖调控上体现了超越其他各处理组的优 势. mFGF-21 调控血糖短效实验结果表明,胰岛 素与低剂量 mFGF-21 配合使用的情况下,延长了 速效胰岛素原本只有 2 h 的调控血糖持续时间至 6 h, 低剂量的 mFGF-21 在胰岛素的配合下与高剂 量 mFGF-21 降糖效果相比较,加快了起效所需时 间.mFGF-21 调控血糖长效实验结果表明,低剂 量 mFGF-21 混合胰岛素长期注射对血糖的调控效 果较相同剂量的 mFGF-21 与胰岛素单独注射效果 提高显著,且在减少 mFGF-21 剂量的情况下与高 剂量 mFGF-21 起到了同样的血糖调控效果.

肝脏是人体最重要的代谢器官之一,具有非常 复杂的生理、生化功能,在维持血糖恒定的过程中 发挥着不可取代的作用[10]. 葡萄糖在哺乳动物体内 需要葡萄糖转运蛋白(GLUTs)的协助进入细胞内 [11]. GLUT1、4 是葡萄糖转运过程中最为重要的两个与 代谢相关的膜蛋白[12-14]. 实时定量 PCR 结果表明, 与胰岛素调控 GLUT4 表达不同的是, 高剂量 mFGF-21 长期注射后,通过促进 GLUT1 的表达来 促进动物机体摄取葡萄糖. 而且, 胰岛素与低剂量 mFGF-21 协同注射可同时上调 GLUT1 和 4 的表达 量,更大程度地提高机体对葡萄糖的摄取.同时, 糖原检测结果表明,胰岛素与低剂量 mFGF-21 协 同注射和高剂量 mFGF-21 长期注射模型动物均可 促进动物肝脏组织糖原的合成, 且效果均优于胰岛 素长期注射,其中尤以高剂量 mFGF-21 促糖原合 成能力最为显著. 综合以上结果,表明 mFGF-21 是通过增加 GLUT1 的表达,增加机体对葡萄糖的摄取,增加糖原的合成来调节体内糖代谢.本研究对 mFGF-21 调节模型动物的糖代谢效果及部分肝糖代谢机制进行了初步研究,为利用 FGF-21 治疗1 型糖尿病和传统胰岛素疗法提供了新的方案和思路,为 FGF-21 研发成治疗糖尿病的新型药物提供了重要的动物实验依据.

参考文献

- [1] Moller D E. New drug targets for type 2 diabetes and the metabolic syndrome. Nature, 2001, **414**(6865): 821–827
- [2] Kharitonenkov A, Dunbar J D, Bina H A, et al. FGF-21/FGF-21 receptor interaction and activation is determined by beta Klotho. Cell Physiol, 2008, 215(1): 1-7
- [3] Wente W, Efanov A M, Brenner M, et al. Fibroblast growth factor-21 improves pancreatic beta-cell function and survival by activation of extracellular signal-regulated kinase 1/2 and Akt signaling pathways. Diabetes, 2006, 55(9): 2470-2478
- [4] 刘铭瑶, 王文飞, 于艺雪, 等. 成纤维细胞生长因子(FGF)-21 改善胰岛素抵抗肝细胞对葡萄糖的吸收和肝糖原的合成. 生物化学与生物物理进展, 2009, **36**(10): 1327-1333 Liu M Y, Wang W F, Yu Y X, *et al.* Prog Biochem Biophys, 2009, **36**(10): 1327-1333
- [5] 张均田, 包图娅, 曹恩华, 等. 现代药理实验方法(上、下). 北京: 北京医科大学、协和医科大学联合出版社, 1997: 984-985 Zhang J T, Bao T Y, Cao E H, *et al.* Modern Experimental Methods In Pharmacology(Volume 1, 2). Beijing: Peking University Medical Press, 1997: 984-985
- [6] 刘建雷, 李 伶, 杨刚毅. 成纤维细胞生长因子 -21 的研究进展. 检验医学与临床, 2007, **4**(7): 642-643 Liu J L, Li L, Yang G Y. Lab Med Clin, 2007, **4**(7): 642-643
- [7] 王文飞, 李校堃, 李德山. 糖尿病治疗的新视点 成纤维生长因子 21. 中国药理学通报, 2009, **25**(4): 433-435 Wang W F, Li X K, Li D S. Chin Pharm Bull, 2009, **25**(4): 433-435
- [8] 姜媛媛, 刘铭瑶, 任桂萍, 等. 鼠源成纤维细胞生长因子 -21 对脂
- 防细胞糖代谢的作用. 生物化学与生物物理进展, 2009, **36**(2): 157-164
 - Jiang Y Y, Liu M Y, Ren G P, *et al.* Prog Biochem Biophys, 2009, **36**(2): 157–164
- [9] 李晋南, 刘铭瑶, 侯玉婷, 等. 人源 FGF-21 在脂肪细胞糖代谢中的作用. 中国生物化学与分子生物学报, 2009, **25**(6): 556-562 Li J N, Liu M Y, Hou Y T, *et al*. Chin J Biochem Mol Biol, 2009, **25**(6): 556-562
- [10] Postic C, Dentin R, Girard J, et al. Role of the liver in the control of carbohydrate and lipid homeostasis. Diabetes Metab, 2004, 30(5): 398–408
- [11] Kayano T, Burant C F, Fukumoto H, *et al.* Human facilitative glucose transporters. J Biol Chem, 1990, **265**(22): 13276–13282
- [12] Takata K, Kasahara T, Kasahara M, et al. Erythrocyte/HepG2-type glucose transporter is concentrated in cells of blood-tissue barriers. Biochem Biophys Res Commun, 1990, 173(1): 67–73

[13] Zhao F Q, Glimm D R, Kennelly J J, *et al.* Distribution of mammalian facultative glucose transporter messenger RNA in bovine tissues. Int J Biochem, 1993, **25**(12): 1897–1903

[14] Hosake T, Brooks C C, Presman E, et al. p115 interacts with the

GLUT4 vesicle protein, IRAP, and plays a critical role in insulin-stimulated GLUT4 translocation. Mol Biol Cell, 2005, **16**(6): 2882–2890

Fibroblast Growth Factor-21 Mediates Hepatic Glucose Metabolism of Type 1 Diabetes Model and Its Mechanism*

SUN Guo-Peng¹⁾, YE Xian-Long²⁾, REN Gui-Ping²⁾, LI Jin-Nan²⁾, LI De-Shan^{2)**}

(¹⁾ College of Life Sciences, Xin Xiang University, Xinxiang 453000, China;

²⁾ College of Life Sciences, Northeast Agricultural University, Harbin 150030, China)

Abstract Fibroblast growth factor (FGF)-21 is a new member of the fibroblast growth family. Recent studies show that FGF-21 is a novel regulator for glycemic control in various type 2 DM models. However, its potential to treat type 1 diabetes mellitus has not been explored. An evaluation of the function and mechanism of FGF-21 was made in hepatic glucose metabolism of type 1 diabetes mouse model with slow-onset of the impaired glucose tolerance induced by STZ. The mice were administrated with FGF-21, the mRNA expression of GLUT1 and 4 in the liver were detected by the real-time PCR and glycogen synthesis was examined by the anthrone method. The results showed that FGF-21could lower the blood glucose level of the type 1 diabetes model in a dose-depend manner. The blood glucose level of the experimental animals maintained at normal level by injection of the FGF-21 once a day. For the first time, the synergistic effect of FGF-21 with insulin in the animal model was found. Unlike insulin that stimulated GLUT4 expression, FGF-21 could increase the mRNA expression of GLUT1, co-treatment (CT) with insulin and FGF-21 could increase the mRNA expression of both GLUT1 and 4. After long term treatment, the same as insulin, FGF-21 also stimulated glycogen synthesis of the model mice. The results suggested that FGF-21 can regulate glucose metabolism through GLUT1 expression, stimulate glycogen synthesis and improve glucose metabolism in type 1 diabetes model. Moreover, CT administration could increase both GLUT1 and 4 expressions. These data provide the first evidence for clinic application of FGF-21 for treatment of type 1 diabetes patients.

Key words fibroblast growth factor-21, slow-onset type 1 diabetes animal model, glucose metabolic, synergy effect with insulin, diabetes therapeutic agent

DOI: 10.3724/SP.J.1206.2011.00098

^{*}This work was supported by grants from Science and Technology Planning Program of Heilongjiang Province (2006G0461-00), Harbin Municipal Science and Technology Innovation and Talent Development Program (2006RFXXS002).

^{**}Corresponding author.